

LEZIONE SPECIALE:

25/03/2021

@ 12h00

("teoria dello scattering: perturbazioni indipendenti dal tempo")

[a lezione fanno quelle dipendenti dal tempo]

PERDITE DI E DI UNA PARTICELLA

- ionizzazione

$$\frac{dE}{dx}$$

LINEAR
STOPPING
POWER

$$\frac{1}{\rho} \frac{dE}{dx}$$

MASS
S.P.

Versione completa n: Bethe - Bloch

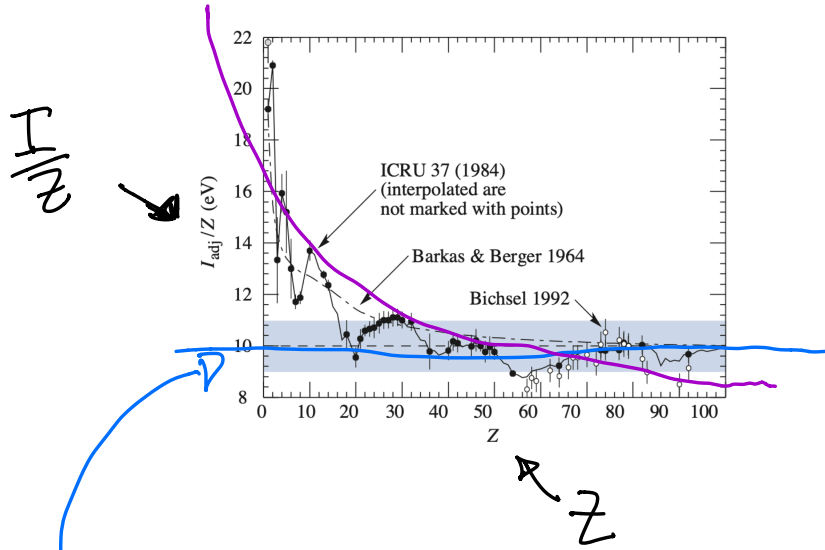
$$\frac{1}{\rho} \frac{dE}{dx} = C \left(\frac{Z}{A} \right) \cdot \left(\frac{Z}{\beta} \right)^2 \left[\frac{1}{2} \ln \frac{m_e c^2 (\beta \gamma)^2 T_{max}}{\langle I \rangle^2} - \beta^2 - \frac{\delta(\beta \gamma)}{2} - \frac{k}{Z} \right]$$

$C = 0.307 \text{ MeV} / (\text{g/cm}^2)$

DEL MEZZO

$$T_{MAX} = \frac{2 m_e c^2 (\beta \gamma)^2}{1 + (m_e/M)^2 + 2 m_e \gamma / M}$$

ci serve $\langle I \rangle$



$$I \sim 10 \text{ eV} \cdot Z$$

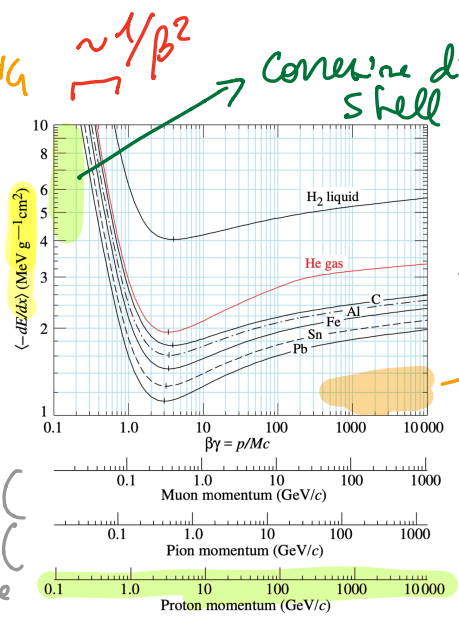
MASS STOPPING POWER $\sim 1/\beta^2$

$\frac{1}{\rho} \frac{dE}{dx}$

\uparrow g/cm³

← H₂ liquid

← air



- il calcolo vale per $M \neq m_e$

altre parti $E'_{||} = E_{||}$ $E'_{\perp} = \gamma E_{\perp}$

EFFETTO DENSITA'

ipotesi di parzialle

$$M_p \approx 938 \text{ MeV}/c^2$$

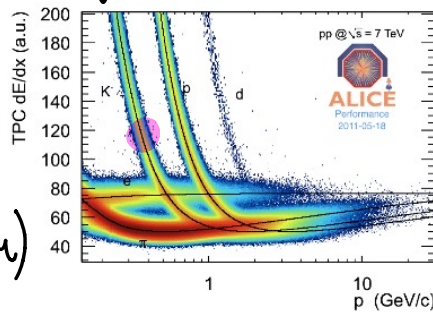
$$\beta\gamma = \frac{p}{Mc}$$

$$\beta = \frac{pc}{E}$$

$$\gamma = \frac{E}{Mc^2}$$

posso usare dE/dx per fare PARTICLE IDENTIFICATION (PID)

$\frac{dE}{dx}$
(MeV/cm)



→ p della particella

SEZIONE D'URTO

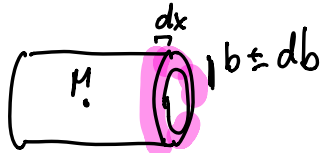
$$\Delta E = 2 m_e c^2 \left(\frac{z}{\beta}\right)^2 \cdot \left(\frac{r_e}{b}\right)^2$$

nel singolo
urto con un e

$$b^2 = \dots \cdot \frac{1}{\Delta E}$$

$$d\sigma = 2\pi b db$$

$$|2b db| = \left| m_e c^2 \left(\frac{z}{\beta}\right)^2 r_e^2 \right| \frac{d(\Delta E)}{(\Delta E)^2}$$



$$d\sigma = 2\pi b db = 2\pi \cdot \frac{m_e c^2 z^2 r_e^2}{\beta^2} \cdot \frac{d(\Delta E)}{(\Delta E)^2}$$

$$\frac{d\sigma}{d(\Delta E)} \propto \frac{1}{(\Delta E)^2}$$

molto più probabile che
nel singolo urto si perda
poca energia

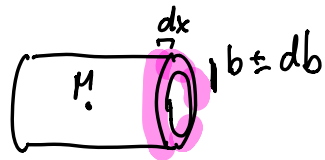
$$\frac{d\sigma}{d(\Delta E)} (\Delta E=1) = A$$

$$\frac{d\sigma}{d(\Delta E)} (\Delta E=4) = \frac{A}{16}$$

le collisioni con alto ΔE
sono RARE

RANGE ("percorso rettilineo")

- CASO GENERALE di un percorso qualunque



$$dP = \sigma P dN_B$$

$$= \frac{P}{S} \cdot (S \cdot dx \cdot N_B)$$

$$= \sigma \cdot N_B \cdot dx$$

FUSSO DI PARTICELLE INCIDENTI

$$d\phi = -\phi dP = -\sigma N_B dx \phi$$

$$\phi = \phi_0 e^{-\frac{x-x_0}{\lambda}}$$

$$\lambda \equiv \frac{1}{\sigma N_B}$$

CAMMINO LIBERO MEDIO

$$\mu = \sigma N_B$$

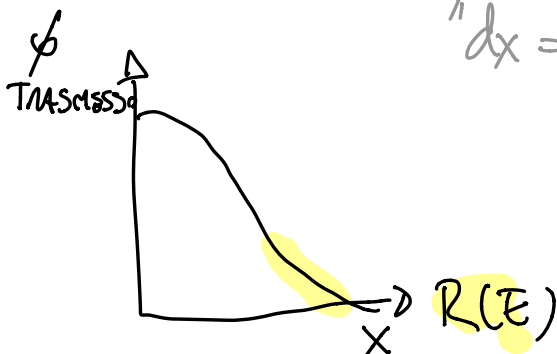
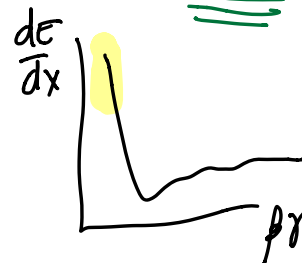
COEFF. DI ASSORBIMENTO

- RANGE

$$R(E) = \int_0^R dx = \int_0^E \left(\frac{dE}{dx} \right)^{-1} dE$$

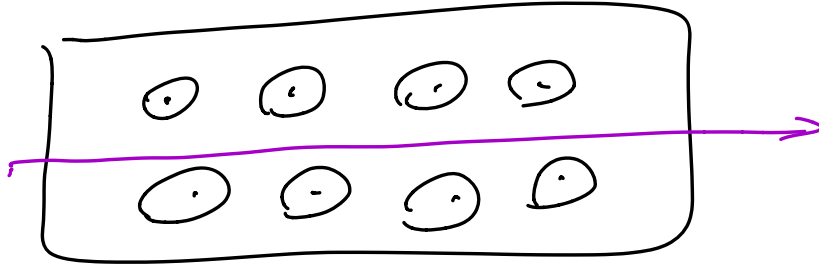
CINETICA

$$dx = \frac{dx}{dE} dE$$



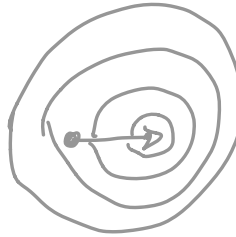
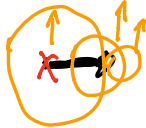
SITUAZIONE SEMPRE DI VALORI MEDI

EFFETTO ČERENKOV

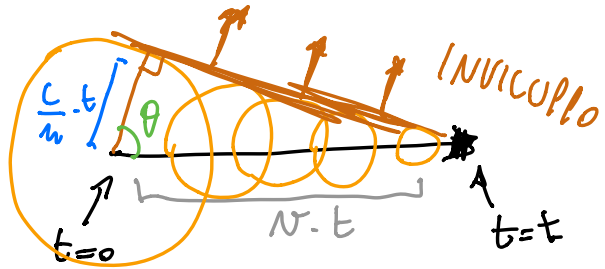


N "piccolo"

N "grande"



$v < \frac{c}{n}$] INDICE DI RIFRANGIMENTO DEL MEZZO
 VELOCITA' DELLA LUCE NEL MATERIALE ATTRAVERSATO



$v > \frac{c}{n}$

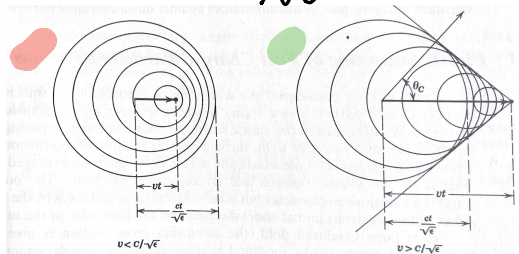
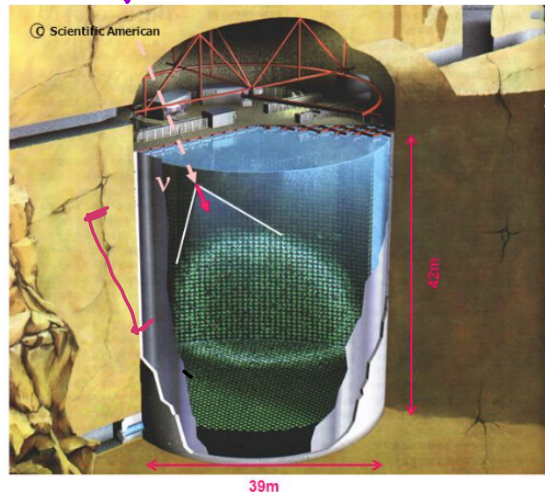
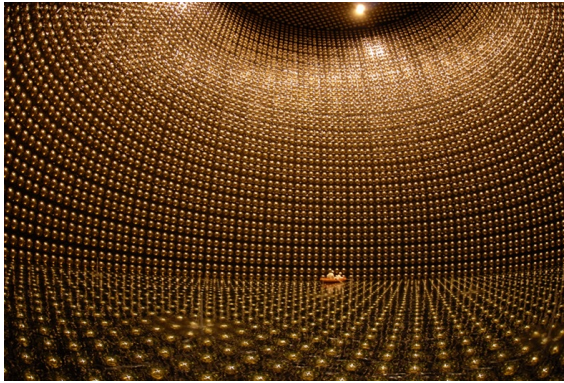


Figure 13.5 Cherenkov radiation. Spherical wavelets of fields of a particle travel less than and greater than the velocity of light in the medium. For $v > c/\sqrt{\epsilon}$, an electromagnetic "shock" wave appears, moving in the direction given by the Cherenkov angle θ_c .

$$\frac{c}{n} \cdot t = v \cdot t \cdot \cos \theta$$

$$\rightarrow \cos \theta = \frac{1}{\beta \cdot n(\omega)}$$



FOTONI

$\frac{d^2 N}{dx \cdot d\omega}$ $\xrightarrow{\text{L'ASTIMO COSI}}$ $N(\omega) = \frac{E}{h\omega}$

distanza attraversata

$$\frac{d^2 E}{dx d\omega} = \frac{z^2 e^2}{4\pi\epsilon_0} \cdot \frac{\omega}{c^2} \left[1 - \frac{1}{\beta^2 m^2(\omega)} \right]$$

$$= \frac{z^2 e^2}{4\pi\epsilon_0} \cdot \frac{\omega}{c^2} \left[\sin^2(\theta(\omega)) \right]$$

$$d = \frac{1}{4\pi\epsilon_0} \frac{e^2}{hc}$$

$$\omega \sin \theta = \frac{1}{\beta m(\omega)}$$

$$\frac{d^2 N}{dx d\omega} = \frac{z^2 d}{c} \sin^2(\theta(\omega))$$

$$\frac{dN}{dx} = \frac{z^2 d}{c} \int_{\Delta\omega} d\omega \sin^2(\theta(\omega))$$

$\Delta\omega$] IN CUI E' SENSIBILE
IL RIVELATORE

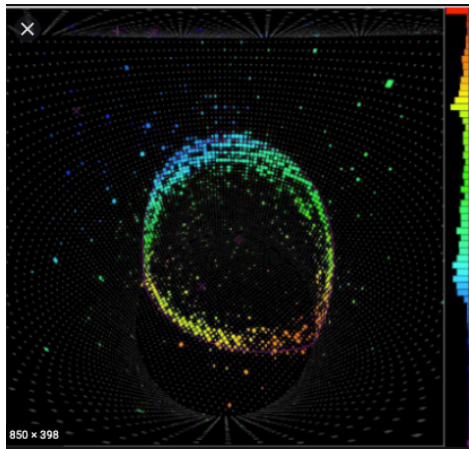
$$\approx \frac{z^2 d}{c} \langle \sin^2(\theta(\omega)) \rangle \cdot \Delta\omega$$

$$\approx 700 \text{ fotoni} \times z^2 \sin^2 \theta \text{ per cm}$$

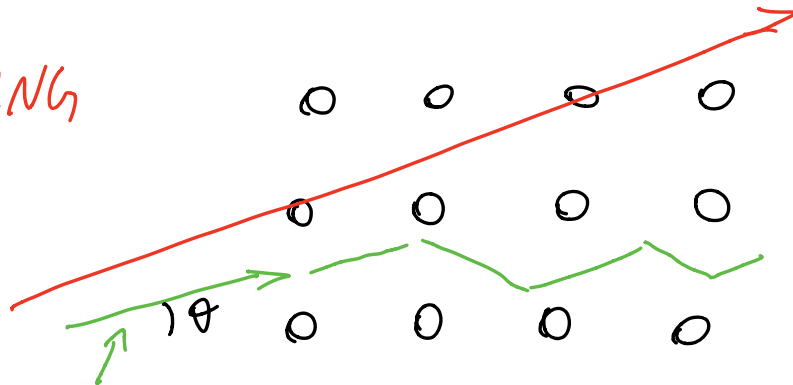
è un effetto piccolo di perdita di
energia! $\approx 10^{-3} \times \text{IONIZZAZIONE}$

$$E_\gamma \sim 4 \text{ eV}$$

$$\Delta E \sim 2 \text{ KeV}$$



CHANNELING

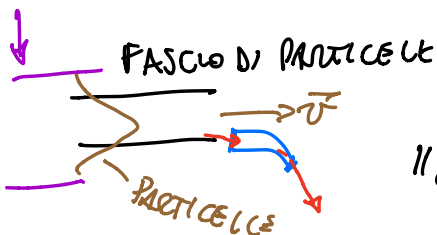


CHANNELING

$$f(\theta, \beta)$$

$$\hookrightarrow \beta < 0.1$$

BEAM PIPE



"COLLIMAZIONE" di un fascio

SCATTERING COL NUCLEO

COLOMBIANO DI TANTI NUCLEI

MULTIPLO

(Rutherford)^N

$$\frac{d\sigma}{d\Omega} = \frac{(zZe^2)^2}{(16\pi\epsilon_0 \cdot T)^2} \cdot \frac{1}{\sin^4 \theta/2}$$

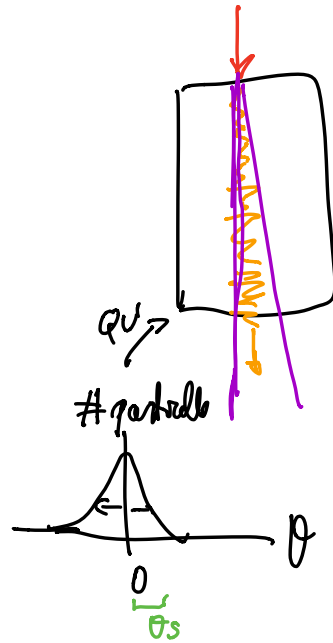


$P(\theta \sim 0)$ è alta

$$\langle \theta \rangle = 0$$

DOPO TANTI SCATTERING

NUMERO DI COLUSIONI IN ANGOLO SOLIDO $d\Omega$



$$d^2n = n_B dx d\sigma = \rho \cdot \frac{N_A}{A} dx$$

NUCLEI per cm^2

$$\times \frac{d\sigma}{d\Omega} \cdot d\Omega$$

ISOTROPICA IN ϕ

$$= \rho \frac{N_A}{A} \cdot dx \cdot \frac{d\sigma}{d\Omega} \cdot 2\pi \cdot \theta \cdot d\theta$$

$$= \rho \frac{N_A}{A} \cdot dx \cdot \left(\frac{zZe^2}{16\pi\epsilon_0 \frac{pv}{2}} \right)^2 \cdot \frac{1}{(\theta/2)^4} \cdot 2\pi \cdot \theta \cdot d\theta$$


$\sin \theta \sim \theta$ per θ piccoli

Rutherford: $T \sim \frac{pv}{2}$
(non relativistic)

$$= \rho \frac{N_A}{A} \cdot dx \cdot \left(\frac{zZ}{4T} \right)^2 \cdot (r_e m_e c^2)^2 \cdot \frac{1}{\theta^3} \cdot 2\pi \cdot d\theta$$

$$= 8\pi r_e^2 \cdot \frac{(m_e c^2)^2}{p^2 v^2} \cdot z^2 Z^2 \cdot \rho \frac{N_A}{A} \cdot \frac{1}{\theta^3} d\theta dx$$

$\frac{e^2}{4\pi\epsilon_0 r_e} = m_e c^2$



$$\langle \theta_s^2 \rangle = \int (\theta^2 - \langle \theta \rangle^2) d^2 n$$

$$= \int \theta^2 \cdot \frac{d^2 n}{d\theta dx} d\theta dx$$

$$\equiv \int \theta_x^2 dx$$

$$\theta_x^2 = 8\pi r_e^2 \cdot \rho \frac{N_A}{A} \cdot z^2 Z^2 \frac{(m_e c^2)^2}{p^2 v^2} \cdot \int \frac{1}{\theta} d\theta$$

$$b = \frac{A}{2} \cdot \frac{1}{\tan \theta/2}$$

b_{MIN} : distanza del nucleo
 b_{MAX} : " dell'atomo